



---

## **Dokumen Pengembangan TRIAC** **(TRIso *Analysis Code*)**

---

LABORATORIUM KOMPUTASI  
PUSAT TEKNOLOGI DAN KESELAMATAN REAKTOR NUKLIR

*Disusun oleh:*  
Arya Adhyaksa Waskita

*Supervisor:*  
Dr. Topan Setiadipura

31 Juli 2017

# Daftar Isi

<b>Daftar Gambar</b>	<b>ii</b>
<b>Daftar Program</b>	<b>iii</b>
<b>1 Pendahuluan</b>	<b>2</b>
<b>2 Alur Perhitungan</b>	<b>4</b>
2.1 Pendahuluan . . . . .	4
2.2 Membaca <i>file input</i> . . . . .	5
2.3 Menghitung OPF saat irradiasi . . . . .	6
2.4 Menghitung DS saat kecelakaan . . . . .	6
2.5 Menghitung tekanan . . . . .	7
2.6 Fraksi gagal bahan bakar . . . . .	8
2.6.1 Fraksi gagal akibat berkurangnya <i>tensile strength</i> . . . . .	8
2.6.2 Fraksi gagal bahan bakar akibat <i>weight loss</i> . . . . .	9
<b>3 Penerapan</b>	<b>11</b>
3.1 Pendahuluan . . . . .	11
3.2 Saat irradiasi . . . . .	15
<b>LAMPIRAN</b>	<b>1</b>
<b>Lampiran 1</b>	<b>2</b>

# Daftar Gambar

1.1	Ilustrasi bentuk bahan bakar <i>pebble</i> . . . . .	2
1.2	Komposisi elemen pelapis partikel . . . . .	3
2.1	Diagram alir perhitungan TRAIC . . . . .	4

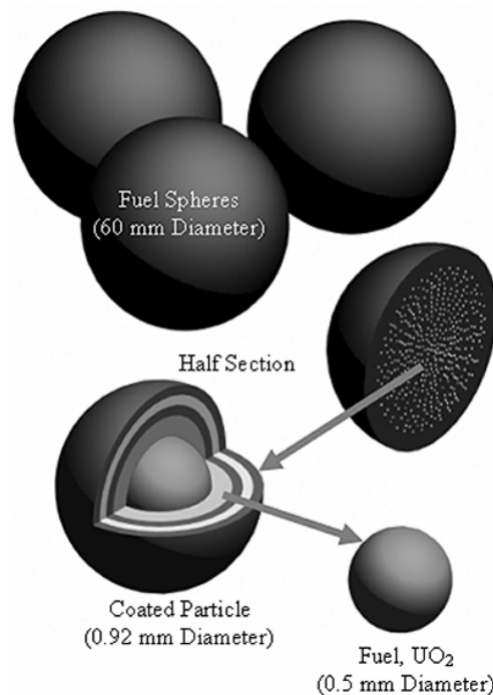
# Daftar Program

3.1	triac.py . . . . .	11
-----	--------------------	----

# BAB 1

## Pendahuluan

BATAN saat ini tengah berencana membangun reaktor riset baru berbasis HTGR (*High Temperature Gas-cooled Reactor*) [1] sebagai persiapan PLTN, yang akan dibangun di Indonesia di masa depan [2]. Salah satu yang perlu diperhatikan dalam pengembangan reaktor jenis ini adalah bahan bakarnya yang berjenis *pebble* yang bentuknya dapat diilustrasikan seperti pada Gambar 1.1. Bahan bakar harus dirancang sedemikian rupa sehingga rasio gagalnya bahan bakar selama operasi minimal.

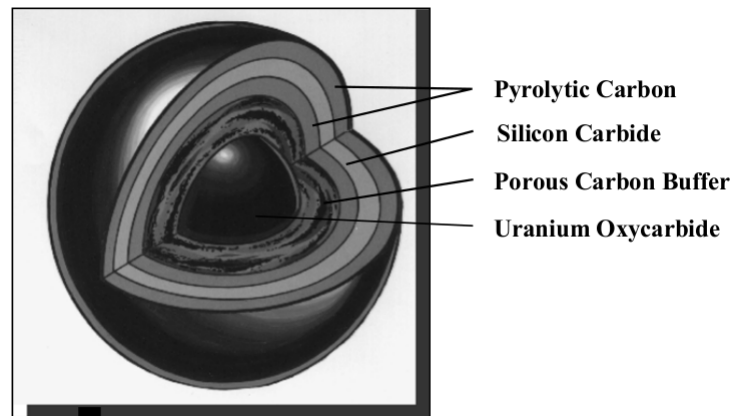


Gambar 1.1: Ilustrasi bentuk bahan bakar *pebble* [1]

Bahan bakar berjenis *pebble* ini memiliki komponen utama yang dalam Gambar 1.1 disebut sebagai *coated particle*. Komposisi elemen pelapis (*coated*) dapat diilustrasikan dalam Gambar 1.2. Dalam upaya menguasai teknologi reaktor berjenis HTGR melalui pengembangan RDE, salah tugas yang harus dilaksanakan adalah penguasaan analisis kegagalan bahan bakarnya, khususnya ketika terjadi kecelakaan.

Beragam model analisis telah dikembangkan, salah satunya yang dikembangkan oleh Wang [1]. Selain itu, terdapat sebuah model sederhana yang dikembangkan oleh Verfondern dalam PANAMA [3]. Pada model tersebut, bahan bakar disebut gagal jika kekuatan lapisan

SiC (*Silicon Carbide*) lebih kecil daripada tekanan internal dari lapisan di bawahnya (perhatikan Gambar 1.2). Model inilah yang akan diterapkan dalam TRIAC (*TRIso Analysis Code*).



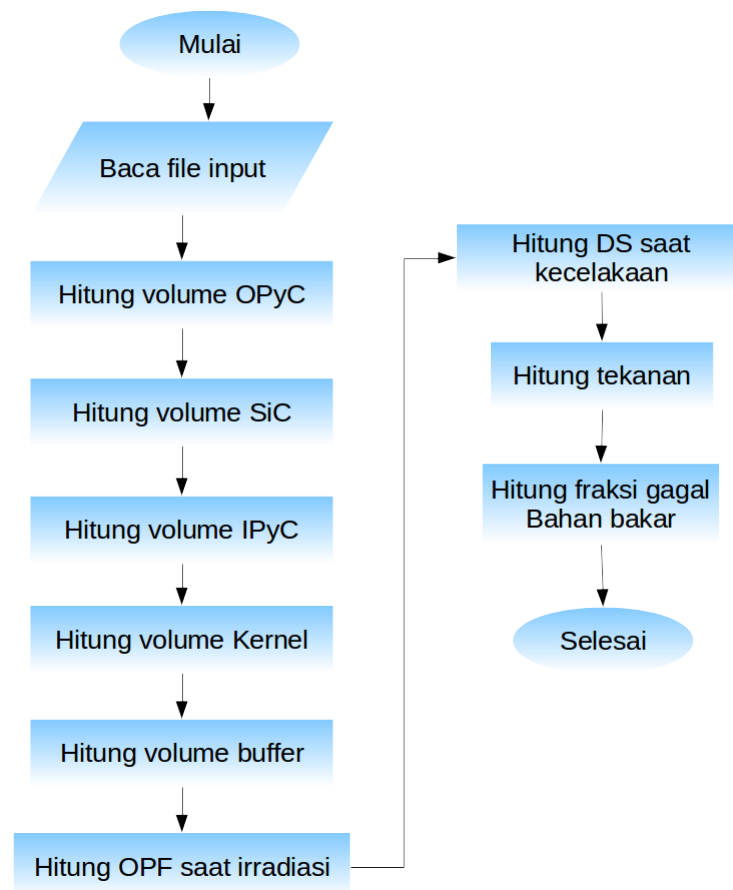
Gambar 1.2: Komposisi elemen pelapis partikel [1]

## BAB 2

# Alur Perhitungan

### 2.1 Pendahuluan

Secara umum, perhitungan TRIAC mengikuti diagram alir seperti pada Gambar 2.1 berikut. Sementara kode sumbernya disajikan dalam Listing 3.1 yang dibangun sepenuhnya berbasis pengetahuan yang diperoleh dari dokumen laporan teknis [4].



Gambar 2.1: Diagram alir perhitungan TRIAC

## 2.2 Membaca *file input*

Sub rutin ini ditujukan untuk membaca file input dengan format seperti terdapat pada Lampiran 1. Sub rutin ini menggunakan skema yang kaku karena identifikasi nilai-nilai yang akan dibaca ditentukan oleh suatu teks tertentu. Setelah teks yang menjadi penanda, nilai-nilai yang dibutuhkan dibaca. Tetapi, nilai tersebut dapat langsung berada dalam satu baris bersama dengan teks penanda, atau berada pada baris yang berbeda. Sub rutin ini terdapat pada baris ke-3 s/d baris ke-69 dalam Listing 3.1

Terdapat empat jenis data yang perlu dibaca dari *file input* dalam Lampiran 1, masing-masing adalah sebagai berikut.

1. Data tentang geometri *pebble*. Data ini diidentifikasi menggunakan teks yang didefinisikan oleh variabel `statusGeometry` (baris ke-5 pada Listing 3.1). Di dalam data geometri, terdapat empat data berbeda, masing-masing secara berurutan adalah panjang jejari *pebble* terluar, OPyC (*Outer Pyrolytic Carbon*), SiC (*Silicon Carbide*), IPyC (*Inner Pyrolytic Carbon*), *buffer* dan kernel. Data geometri akan digunakan untuk menghitung volume setiap elemen pelapis (Gambar 1.2). Yang perlu diperhatikan adalah data jari-jari yang disajikan adalah jarak dari pusat bahan bakar sampai titik terluar dari setiap lapisan. Karena itu, volume suatu lapisan harus mempertimbangkan lapisan-lapisan di dalamnya. Data geometri disimpan dalam variabel diberi nama `dimensi` dan dalam bentuk `list` (baris ke-10 dalam Listing 3.1).
2. Data tentang kekuatan SiC. Data ini diidentifikasi menggunakan teks yang didefinisikan oleh variabel `statusCharacteristics` (baris ke-6 pada Listing 3.1). Ada empat nilai yang perlu dibaca terkait kekuatan SiC, masing-masing adalah SiC *Tensile Strength* [Pa], *Weibull Modulus Burnup* [FIMA], *Fission Yield of stable fission gasses* [Ff], *Fast Neutron Fluence* dan rasio berat Th terhadap U-235 pada kernel. Data terkait kekuatan SiC disimpan dalam variabel yang diberi nama `characteristics` dalam bentuk `list` (baris ke-11 dalam Listing 3.1).
3. Data tentang sejarah iradiasi. Data ini diidentifikasi menggunakan teks yang didefinisikan oleh variabel `statusIrradiation` (baris ke-7 pada Listing 3.1). Data ini merupakan data temperatur bahan bakar *pebble* pada selang waktu tertentu. Sebagai contoh, data yang disajikan pada Lampiran 1 diambil pada selang waktu 17 hari. Data sejarah iradiasi disimpan dalam variabel yang diberi nama `irradiation` dalam bentuk `list`. Setiap elemen adalah `list` yang secara *nested* terdiri dari dua elemen yang mewakili data kolom kedua dan ketiga tiap akuisisi (baris ke-12 pada Listing 3.1). Ilustrasinya adalah seperti `[[0,593],[17,833],...]`. Data tentang nomor urut tidak digunakan karena selain tidak diperlukan dalam perhitungan, akan menyulitkan proses interpolasi yang akan diterapkan berikutnya.
4. Data tentang sejarah kecelakaan. Data ini diidentifikasi menggunakan teks yang didefinisikan oleh variabel `statusAccident` (baris ke-8 pada Listing 3.1). Data ini memiliki pola yang sama dengan data sejarah iradiasi. Data sejarah kecelakaan disimpan dengan cara yang sama seperti data tentang sejarah iradiasi tetapi dengan nama `accident` (baris ke-13 pada Listing 3.1). Ilustrasinya adalah seperti `[[0,1033],[0.0271,1033],...]`



## 2.3 Menghitung OPF saat irradiasi

OPF (*Oxygen Per Fission*) adalah jumlah atom oksigen yang terlepas selama fisi atom  $U^{235}$  atau  $Pu^{239}$ . Atom oksigen ini mempengaruhi terbentuknya senyawa CO yang akan meningkatkan tekanan internal dalam bahan bakar. Pembentukan senyawa CO juga dipengaruhi oleh temperatur, waktu serta jenis partikel kernel.

Nilai OPF didekati oleh persamaan (2.1). Nilai  $n$  dalam persamaan (2.1) sama dengan banyaknya data sejarah irradiasi. Nilai  $\Delta_i$  merupakan selisih waktu dari sejarah irradiasi yang dicatat. Nilainya akan berubah dengan berubahnya rentang pencatatan temperatur irradiasi. Jika dalam contoh kasus yang disajikan pada Lampiran 1, rentang waktu pencatatan temperatur irradiasi dilakukan setiap 17 hari, maka  $\Delta_i$  adalah 17 hari atau  $17 \times 24 \times 3600$  detik.  $t_B$  adalah waktu irradiasi total bahan bakar, sedangkan  $\bar{t}_i$  waktu irradiasi ketika pencatatan dilakukan.

$$OPF \simeq \sum_{i=1}^n g(\bar{t}_i) \cdot (t_B - \bar{t}_i) \cdot \Delta t_i \quad (2.1)$$

Tetapi, nilai OPF juga didefinisikan seperti persamaan (2.2), dengan nilai  $g(\bar{t}_i)$  didefinisikan oleh persamaan (2.3). Nilai  $R$  pada persamaan (2.3) adalah konstanta gas sebesar  $8.3143 \left[ \frac{J}{mole \cdot K} \right]$ .

$$OPF = \frac{g(T)}{2} \cdot t^2 \quad (2.2)$$

$$\frac{g(T)}{2} = 8.32 \cdot 10^{-11} \cdot e^{-\frac{163000}{RT}} \quad (2.3)$$

Nilai OPF selanjutnya digunakan untuk menghitung nilai temperatur irradiasi ( $T_B$ ) dari persamaan (2.4). Formula empiris tersebut sesuai untuk jenis bahan bakar  $UO_2$ .

$$\log OPF = -10.08 - \frac{0.85 \cdot 10^4}{T_B} + 2 \cdot \log t_B \quad (2.4)$$

Sedangkan nilai  $T_B$  akan digunakan untuk menghitung  $DS$ , faktor berkurangnya koefisien difusi ( $s^{-1}$ ) dari gas hasil fisi di dalam partikel kernel. Nilainya untuk bahan bakar  $UO_2$  memenuhi persamaan (2.5).

$$\log DS = -2.30 - \frac{0.8116 \cdot 10^4}{T_B} \quad (2.5)$$

Terakhir,  $DS$  akan digunakan untuk menghitung sebuah nilai tak berdimensi  $\tau_i$  yang memenuhi persamaan (2.6).

$$\tau_i = DS(T_B) \cdot t_B \quad (2.6)$$

## 2.4 Menghitung DS saat kecelakaan

Seperti telah dijelaskan dalam sub bab 2.3,  $DS$  adalah faktor berkurangnya koefisien difusi gas hasil fisi dalam partikel kernel. Sekarang, faktor ini dihitung ketika kondisi kecelakaan terjadi. Kita memerlukan sejarah temperatur bahan bakar setelah kecelakaan terjadi serta  $\tau_i$  yang telah dihitung di persamaan (2.6).

Dengan menggunakan persamaan (2.6), kita dapat menghitung nilai  $DS$  dengan temperatur kecelakaan yang tercatat. Kemudian, kita perlu menghitung nilai  $\tau_A$  dengan persamaan

(2.6) tetapi dengan nilai temperatur dan waktu setelah terjadi kecelakaan. Selanjutnya, dengan modal nilai  $\tau_i$  dan  $\tau_A$  kita akan menghitung nilai  $Fd$ , yang merupakan faktor fisi gas Xe dan Kr (yang dominan). Nilai  $Fd$  dihitung dengan persamaan (2.7).

$$Fd = \frac{(\tau_i + \tau_A) \cdot f(\tau_i + \tau_A) - \tau_A \cdot f(\tau_A)}{\tau_i} \quad (2.7)$$

Sedangkan nilai  $f(\tau)$  dihitung menggunakan persamaan (2.8). Batas atas nilai  $n$  pada persamaan (2.8) dapat menggunakan nilai yang cukup besar, misalnya 1000, atau ketika dua nilai berdekatan yang dihasilkan hanya berselisih kurang dari  $10^{-20}$ . Idealnya, suku penjumlahan sebanyak  $n$  akan semakin baik jika hasilnya mendekati 1.

$$f(\tau) = 1 - \frac{6}{\tau} \cdot \sum_{n=1}^{\infty} \left( \frac{1 - e^{-n^2 \cdot \pi^2 \cdot \tau}}{n^4 \cdot \pi^4} \right) \quad (2.8)$$

## 2.5 Menghitung tekanan

Tekanan adalah variabel yang penting dalam tahapan analisis ini karena akan menentukan fraksi gagal bahan bakar. Untuk menghitung tekanan yang timbul ketika kecelakaan terjadi pada waktu tertentu, sehingga menyebabkan panas tertentu, digunakan persamaan (2.9) [1].

$$p = \frac{(F_d \cdot F_f + OPF) \cdot F_b \cdot \left(\frac{V_f}{V_k}\right) \cdot R \cdot T}{V_m} \quad (2.9)$$

dengan :

$F_d$  = fraksi relatif gas fisi yang lepas

$F_f$  = produk fisi yang dihasilkan dari gas fisi stabil,  $F_f=0.31$

$OPF$  = jumlah atom oksigen setiap terjadi fisi saat terjadi kecelakaan

$F_b$  = burnup logam berat (FIMA)

$V_f$  = fraksi void [ $m^3$ ], terkait dengan 50% volume buffer

$V_k$  = volume kernel [ $m^3$ ]

$V_m$  = volume molar dalam partikel kernel  $\left[ \frac{m^3}{mole} \right]$

$R$  = konstanta gas,  $8.3143 \left[ \frac{J}{(mole \cdot K)} \right]$

Khusus untuk variabel  $OPF$ , karena perhitungan tekanan dilakukan ketika terjadi kecelakaan, digunakanlah persamaan (2.10). Persamaan (2.10) mirip dengan persamaan (2.4) dengan penambahan suku ke-3.

$$\log OPF = -10.08 - \frac{0.85 \cdot 10^4}{T_B} + 2 \cdot \log t_B - 0.04 \cdot \left( \frac{10^4}{T} + \frac{10^4}{T_B + 75} \right) \quad (2.10)$$

## 2.6 Fraksi gagal bahan bakar

Tahapan terkahir dari analisis ini adalah perhitungan fraksi gagal bahan bakar. Secara umum, fraksi gagal bahan bakar dipengaruhi sejumlah sebab. Dalam analisis yang dilakukan TRAIC (dan juga PANAMA sebagai acuannya), gagalnya bahan bakar dapat disebabkan oleh 3 sebab. Ketiganya adalah sebagai berikut.

1. Pabrikasi ( $\phi_0$ ). Dalam analisis ini, nilai  $\phi_0$  diasumsikan sama dengan 0.
2. Berkurangnya *tensile strength* lapisan SiC ( $\phi_1$ ). Hal ini dapat terjadi karena
  - proses irradiasi maupun
  - meningkatnya temperatur secara signifikan ketika terjadi kecelakaan) atau disebut juga *grain boundary*.
3. Dekomposisi termal pada temperatur tinggi yang menyebabkan terjadinya *weight loss* pada lapisan SiC ( $\phi_2$ ).

Ketiga sebab terjadinya kegagalan bahan bakar tersebut mengikuti persamaan (2.11).

$$\phi_{total} = 1 - (1 - \phi_1) - (1 - \phi_2) \quad (2.11)$$

### 2.6.1 Fraksi gagal akibat berkurangnya *tensile strength*

Nilai fraksi gagal bahan bakar pada waktu  $t$  setelah terjadinya kecelakaan diperoleh dengan persamaan (2.12).

$$\phi_1(t, T) = 1 - e^{-\ln 2 \cdot \left(\frac{\sigma_t}{\sigma_o}\right)^m} \quad (2.12)$$

dengan :

$\sigma_o$ =*tensile strength* dari SiC [Pa] pada akhir irradiasi

$\sigma_t$ =tekanan yang dialami SiC [Pa] akibat tekanan gas internal

Variabel tekanan internal pada SiC ( $\sigma_t$ ) dihitung dengan dengan persamaan (2.13). Pada persamaan (2.13), jari-jari lapisan SiC merupakan rerata karena lapisan SiC memang memiliki ketebalan yang nilai awalnya diwakili oleh variabel  $d_o$ .

$$\sigma_t = \frac{r \cdot p}{2 \cdot d_o} \cdot \left(1 + \frac{\dot{v} \cdot t}{d_o}\right) \quad (2.13)$$

dengan :

$r$ =rerata jari-jari SiC,  $\left(0.5 \cdot (r_a^3 + r_i^3)\right)^{\frac{1}{3}}$  [m]

$d_o$ =ketebalan awal lapisan SiC,  $r_a - r_i$  [m]

$p$ =tekanan gas fisi dalam partikel [Pa]

$\dot{v}$ =laju korosi sebagai fungsi temperatur (T),  $\left[\frac{m}{s}\right]$

Sedangkan variabel laju korosi ( $\dot{v}$ ) dihitung dengan persamaan (2.14), mirip dengan persamaan (2.3) dengan perbedaan pada konstanta.

$$\dot{v} = 5.87 \cdot 10^{-7} \cdot e^{-\left(\frac{179500}{RT}\right)} \quad (2.14)$$

Selanjutnya, variabel *tensile strength* lapisan SiC, penurunan nilainya mengikuti persamaan (2.15). Variabel  $\sigma_{oo}$  merupakan *tensile strength* awal sebelum diiradiasi. Nilainya merupakan sesuatu yang dapat diukur. Sedangkan  $\Gamma$  dan  $\Gamma_s$  masing-masing merupakan *fluence* neutron cepat  $[10^{25} m^{-2} EDN]$  dan *fluence* yang dipengaruhi temperatur iradiasi. Nilai  $\Gamma_s$  ditentukan menggunakan persamaan (2.16). Nilai minimum  $\sigma_{oo}$  merupakan nilai awal *tensile strength* dan diasumsikan sama dengan 196 [MPa]. Tentunya, dengan perlakuan iradiasi yang sama, lapisan SiC dengan nilai awal *tensile strength* terkecil akan memiliki nilai akhir *tensile strength* yang juga kecil.

$$\sigma_o = \sigma_{oo} \cdot \left(1 - \frac{\Gamma}{\Gamma_s}\right) \quad (2.15)$$

$$\log \Gamma_s = 0.556 + \frac{0.065 \cdot 10^4}{T_B} \quad (2.16)$$

*Tensile strength* lapisan SiC yang dihitung menggunakan persamaan (2.15) merupakan nilai yang berlaku pada satu *coated particle*. Padahal, ada sangat banyak *coated particle* yang dioperasikan. Karena itu, diperlukan perhitungan yang mempertimbangkan variabel ini untuk semua distribusi *coated particles*. Dengan pendekatan yang sama seperti persamaan (2.15), persamaan (2.17) dibangun.

$$m_o = m_{oo} \cdot \left(1 - \frac{\Gamma}{\Gamma_m}\right) \quad (2.17)$$

dengan  $\log \Gamma_m = 0.394 + \frac{0.065 \cdot 10^4}{T_B}$  dan nilai  $m_{oo} = 2$  sebagai nilai terkecilnya. Nilai  $m_o$  pada persamaan (2.17) kemudian akan disubstitusi ke persamaan (2.12) sebagai  $m$ .

Selain korosi karena proses iradiasi, lapisan SiC juga dapat terkorosi karena *grain Boundary*. Jika korosi akibat iradiasi tergantung pada sejarah iradiasi yang dialami bahan bakar dan terjadi sebelum kecelakaan, maka korosi karena *grain Boundary* terjadi setelah kecelakaan. Penurunan nilai distribusi *tensile strength* akibat meningkatnya temperatur karena kecelakaan mengikuti persamaan (2.18).

$$m = m_o \cdot \left(0.44 + 0.56 \cdot e^{-\dot{\eta} \cdot t}\right) \quad (2.18)$$

di mana nilai  $\dot{\eta}$  mengikuti persamaan 2.19 dengan pola yang sama seperti persamaan (2.14).

$$\dot{\eta} = 0.565 \cdot e^{\left(\frac{-187400}{R \cdot T}\right)} [s^{-1}] \quad (2.19)$$

## 2.6.2 Fraksi gagal bahan bakar akibat *weight loss*

Laju *weight loss* yang terjadi akibat tingginya temperatur saat terjadi kecelakaan mengikuti persamaan (2.20).

$$k = k_o \cdot e^{\frac{-Q}{R \cdot T}} \quad (2.20)$$

dengan  $Q = 556 \left[\frac{kJ}{mol}\right]$  dan  $k_o$  adalah faktor frekuensi yang tergantung pada jenis partikel.

Selanjutnya, diasumsikan bahwa partikel TRISO tergantung pada apa yang disebut sebagai "*action integral*", dan disimbolkan dengan  $\zeta$  yang nilainya mengikuti persamaan (2.21).

$$\zeta = \int_{t_1}^{t_2} k(T) dt \quad (2.21)$$

dengan  $K(T)$  adalah nilai yang menggambarkan sejarah kondisi partikel yang bergantung pada temperatur dan waktu.

Secara numerik, persamaan (2.21) dapat dituliskan sebagai persamaa (2.22).

$$\zeta(t_2) = \zeta(t_1) + k(T_m) \cdot (t_2 - t_1) \quad (2.22)$$

dengan  $k(T_m) = \frac{375}{d_o} \cdot e^{\left(\frac{-556000}{R \cdot T_m}\right)}$ .

Kemudian, fraksi gagal  $\phi_2$  sedemikian rupa sehingga nilainya  $\leq 1$ . Karena itu, variabel  $\phi_2$  selanjutnya didefinisikan sebagai persamaan (2.23).

$$\phi_2(t, T) = 1 - e^{-\alpha \cdot \zeta^\beta} \quad (2.23)$$

Nilai  $\alpha$  dan  $\beta$  kemudian ditentukan secara empiris. Dan berdasarkan penelitian empiris sebelumnya terhadap partikel  $UO_2$ , diperoleh nilai  $\alpha = \ln 2 = 0.693$ , sedangkan nilai  $\beta = 0.88$ .

Dalam TRIAC, faktor fraksi gagal ini tidak akan dipertimbangkan. Hal ini disebabkan karena kondisi ini terjadi pada temperatur di atas  $2000^\circ\text{C}$ . Sementara RDE tidak dirancang untuk sampai pada temperatur tersebut.

## BAB 3

# Penerapan

### 3.1 Pendahuluan

TRIA *Code* yang telah dijelaskan sebelumnya secara umum dapat dikelompokkan menjadi dua tugas utama, masing-masing adalah perhitungan di waktu irradiasi dan kecelakaan. Penerapannya adalah seperti pada Listing 3.1.

Listing 3.1: triac.py

```
1 import math, sys
2
3 def readdata(namafile):
4     f=open(namafile,"r")
5     statusGeometry=" [m]"
6     statusCharacteristics="SiC Tensile Strength [Pa]"
7     statusIrradiation="INPUT: Irradiation Temp. Hystory"
8     statusAccident="INPUT: Accident Temp. Hystory"
9     statusAll=0
10    dimensi=[]
11    characteristics=[]
12    irradiation=[]
13    accident=[]
14    i=0
15    x=0
16    for baris in f.readlines():
17        i=i+1
18        element=baris.split('\t')
19        """ print element """
20        if statusAll==0:
21            if element[0]==statusGeometry:
22                for j in range(1,6):
23                    y=float(element[j])
24                    dimensi.append(y)
25                    statusAll=1
26                print dimensi
27
28        elif statusAll==1:
29            if element[0]==statusCharacteristics:
30                x=i+1
31            elif i==x:
32                try:
33                    for j in range(0,5):
34                        y=float(element[j])
35                        characteristics.append(y)
36                        statusAll=2
37                    print characteristics
38                except:
39                    x=i+1
40
41
42
```

```

43         elif statusAll==2:
44             if element[0]==statusIrradiation:
45                 x=i+1
46             elif i==x:
47                 if element[0]==statusAccident:
48                     statusAll=3
49                 else:
50                     temp=[]
51                     try:
52                         y=float(element[1])
53                         if y>0:
54                             temp.append(y*24*3600)
55                             y=float(element[2])
56                             temp.append(y)
57                             irradiation.append(temp)
58                         x=i+1
59                     except:
60                         print element
61                         x=i+1
62
63
64
65         elif statusAll==3:
66             temp=[]
67             try:
68                 y=float(element[1])*24*3600
69                 temp.append(y)
70                 y=float(element[2])
71                 temp.append(y)
72                 accident.append(temp)
73             except:
74                 x=i+1
75
76     return dimensi, characteristics, irradiation, accident
77
78
79 def OPF(irradiation, dt):
80     x=len(irradiation)
81     y=(17.0/dt)*24*3600
82     tb=1020*24*3600
83     z=0.0
84     for i in range(x):
85         j=irradiation[i]
86         a1=8.3143*j[1]
87         a=-163000/(a1)
88         b=math.exp(a)
89         g=2*(8.32e-11)*b
90         g1=g*(tb-j[0])*y
91         z=z+g1
92
93     Tb=0.85e4/((2*math.log10(tb))-(math.log10(z))-10.08)
94     logDS=-2.3-(8116/Tb)
95     ds=math.pow(10,logDS)
96     tau=ds*tb
97     return z,Tb,ds,tau
98
99 def FTau(tau):
100     looping=0.0
101     for n in range(1,2000):
102         pangkat=math.pow(n,2)*math.pow(math.pi,2)*tau
103         A=math.exp(-(pangkat))
104         B=math.pow(n,4)*math.pow(math.pi,4)
105         looping=looping+((1-A)/B)
106
107     ftau=1-((6/tau)*looping)
108     return ftau
109
110 def OPFAccident(Tb, tb, T):
111     logOPF=-10.08-(8500/Tb)+(2*math.log10(tb))-(0.404*((10000/T)-(10000/(Tb+75))))
112     opfa=math.pow(10,logOPF)

```

```

113         return opfa
114
115     def Pressure(Tb, dsAccident, Vk, Vf, accident):
116         p=[]
117         for i in range(len(accident)):
118             x=accident[i]
119             y=dsAccident[i]
120             p.append((y[2]*Ff*OPFAccident(Tb,x[1])*Fb)/((Vf/Vk)*R*x[1]/Vm))
121         return p
122
123     def DS(T):
124         logDS=-2.3-(8116/T)
125         ds=math.pow(10,logDS)
126         return ds
127
128     def interpolasi(a,b,c):
129         x1=a[0]
130         y1=a[1]
131         x2=b[0]
132         y2=b[1]
133
134         i=[]
135         selisih=(x2-x1)/c
136         x=x1
137
138         for k in range(1,c):
139             j=[]
140             x=x+selisih
141             y=((x-x1)/(x2-x1))*(y2-y1)+y1
142             j.append(x)
143             j.append(y)
144             i.append(j)
145         return i
146
147     if __name__=="__main__":
148         if len(sys.argv)==3:
149             f=sys.argv[1]
150             dt=int(sys.argv[2])
151         else:
152             f="example.pan.in"
153             dt=19
154
155         x=readdata(f)
156         dimensi=x[0]
157         characteristics=x[1]
158         irradiation=x[2]
159         accident=x[3]
160
161         VolRef1=(4/3)*math.pi*dimensi[0]*dimensi[0]*dimensi[0]
162         VolRef2=(4/3)*math.pi*dimensi[1]*dimensi[1]*dimensi[1]
163         VolOPyC=VolRef1-VolRef2
164
165         """Volume SiC"""
166         VolRef3=(4/3)*math.pi*dimensi[2]*dimensi[2]*dimensi[2]
167         VolSiC=VolRef2-VolRef3
168
169         """Volume IPyC"""
170         VolRef4=(4/3)*math.pi*dimensi[3]*dimensi[3]*dimensi[3]
171         VolIPyC=VolRef3-VolRef4
172
173         """Volume Buffer & Volume Kernel"""
174         VolKernel=(4/3)*math.pi*dimensi[4]*dimensi[4]*dimensi[4]
175         VolBuff=VolRef4-VolKernel
176         print("Volume OPyC: ",VolOPyC)
177         print("Volume SiC: ",VolSiC)
178         print("Volume IPyC: ",VolIPyC)
179         print("Volume Buffer: ",VolBuff)
180         print("Volume Kernel: ",VolKernel)
181
182         irradiation2=[]

```



```

183 accident2=[]
184 lenIR=len( irradiation )
185 lenAcc=len( accident )
186
187 fi=file( 'irradiasi2 ', 'w' )
188 irradiation2.append( irradiation [0])
189 b=0
190 fi.write( str(b)+', ' +str( irradiation2 [0])+ '\n' )
191 b=b+1
192 for x in range(1, lenIR ):
193     temp=[]
194
195     i=irradiation [x-1][1]
196     j=irradiation [x][1]
197     if i!=j:
198         temp=interpolasi( irradiation [x-1], irradiation [x], dt)
199         for y in range(len(temp)):
200             irradiation2.append(temp[y])
201             fi.write( str(b)+', ' +str( irradiation2 [b])+ '\n' )
202             b=b+1
203         irradiation2.append( irradiation [x])
204         fi.write( str(b)+', ' +str( irradiation2 [b])+ '\n' )
205         b=b+1
206
207 fi.close()
208
209 fi=file( 'accident2 ', 'w' )
210 b=0
211 fi.write( str(b)+', ' +str( irradiation2 [0])+ '\n' )
212 b=b+1
213 accident2.append( accident [0])
214 for x in range(1, lenAcc ):
215     temp=[]
216
217     i=accident [x-1][1]
218     j=accident [x][1]
219     if i!=j:
220         temp=interpolasi( accident [x-1], accident [x], dt)
221         for y in range(len(temp)):
222             accident2.append(temp[y])
223             fi.write( str(b)+', ' +str( irradiation2 [b])+ '\n' )
224             b=b+1
225         accident2.append( accident [x])
226         fi.write( str(b)+', ' +str( irradiation2 [b])+ '\n' )
227         b=b+1
228
229
230 TB=OPF( irradiation2 ,1)
231 z=TB[0]
232 Tb=TB[1]
233 dsi=TB[2]
234 tauI=TB[3]
235 print( "OPF="+str(z)+", Tb="+str(Tb)+", DS="+str(dsi)+", TauI="+str(tauI))
236
237 tb=1020*24*3600
238 Vk=VolKernel
239 Vf=0.5*VolBuff
240 Ff=0.31
241 R=8.3143
242 Vm=2.43796e-5
243 Fb=0.08
244
245 a=(0.5*(pow(dimensi[1],3)+pow(dimensi[2],3)))
246 r=pow(a,(1.0/3))
247 do=dimensi[1]-dimensi[2]
248
249 sigma0=756.e6
250 m=6.93
251 print( FTau(0.05), FTau(0.5), FTau(1), FTau(2))
252 print( 'ln(2)='+str(math.log(2)))

```

```

253     pressure=[]
254     SigmaT=[]
255     phil=0
256
257     for i in range(len(accident2)):
258         dsa=DS(accident2[i][1])
259         tauA=dsa*accident2[i][0]
260         if accident2[i][0]==0:
261             Fd=FTau(tauI)
262         else:
263             Fd=((tauI+tauA)*FTau(tauI+tauA))-(tauA*FTau(tauA))/tauI
264
265         opfa=OPFAccident(Tb,tb,accident2[i][1])
266         n=((Fd*Ff)+opfa)*Fb*(Vk/Vm)
267         p=n*R*accident2[i][1]/Vf
268         pressure.append(p)
269
270         vdot=(5.87e-7)*math.exp(-179500/(8.3143*accident2[i][1]))
271         a=(1+(vdot*accident2[i][0])/do))
272         sigmaT=((r*p)/(2*do))*a
273         SigmaT.append(sigmaT)
274
275         al=sigmaT/sigma0
276         a=pow(al,m)
277         b=math.exp(-math.log(2)*a)
278         phi=1-b
279         phil=phil+phi

```

## 3.2 Saat irradiasi

Untuk perhitungan pertama, kita harus bisa mendapatkan nilai OPF (persamaan 2.1),  $T_B$  (persamaan 2.4),  $DS$  (persamaan 2.5) dan  $\tau_i$  (persamaan 2.6). Pada Listing 3.1, tugas tersebut didelegasikan pada fungsi OPF (irradiation, dt) (baris ke-72 s/d 90). Fungsi tersebut membutuhkan dua argumen, dengan argumen pertama adalah sejarah irradiasi dalam bentuk array. Jika melihat contoh yang disajikan pada Lampiran 3.2, data tersebut terletak setelah baris berisi INPUT: Irradiation Temp. Hystory. Array akan berdimensi dua, yaitu setiap elemen array merupakan array dengan dua elemen, masing-masing adalah waktu dan temperatur irradiasi.

Argumen kedua sejatinya menunjukkan selisih waktu antara pengambilan data yang satu dengan pengambilan data berikutnya. Nilai tersebut diterapkan dalam Listing 3.1 sebagai variabel y. Karena selisih waktu antar pengambilan data yang dimaksud pada contoh Lampiran 3.2 dinilai cukup tinggi (17 hari), maka interpolasi dicoba untuk diterapkan juga. Hal ini dilatarbelakangi hasil simulasi yang disajikan dalam literatur [4]. Sebagai ilustrasi, jika tanpa interpolasi, nilai temperatur irradiasi  $T_B = 1057.41^\circ\text{C}$ . Bila dijalankan dengan menggunakan skenario selisih antar pengambilan data adalah  $\frac{17}{2} = 8.5$  hari, dihasilkan nilai  $T_B = 1046.55^\circ\text{C}$ . Sedangkan, nilai  $T_B$  yang dihitung dengan skenario selisih antar pengambilan data adalah 1 hari (interpolasi jumlah pembagian sebanyak 17 menghasilkan nilai  $1040.07^\circ\text{C}$ . Nilai  $T_B$  selanjutnya akan semakin kecil dengan semakin kecilnya jarak pengambilan data (semakin besar pembagian untuk interpolasi).

# Daftar Referensi

- [1] J. Wang, “An integrated performance model for high temperature gas cooled reactor coated particle fuel,” Ph.D. dissertation, Massachusetts Institute of Technology, 2004.
- [2] “Reaktor daya eksperimental (rde),” <http://www.batan.go.id/index.php/id/reaktor-daya-eksperimental-rde>, diakses: 17-07-2017.
- [3] K. Verfondern, J. Cao, T. Liu, and H.-J. Allelein, “Conclusions from v&v studies on the german codes panama and fresco for htgr fuel performance and fission product release,” *Nuclear Engineering and Design*, vol. 271, pp. 84 – 91, 2014, sI : HTR 2012. [Online]. Available: <http://www.sciencedirect.com/science/article/pii/S0029549313005992>
- [4] K. Verfondern and H. Nabielek, “The mathematical basis of the panama-i code for modelling pressure vessel failure of triso coated particles under accident conditions,” Julich Research Center, Germany, Tech. Rep., 1990.

# LAMPIRAN

## **Lampiran 1: Contoh file input**

TRIAC-BATAN

TRISO Analysis Code of BATAN

"Developed by Computational Laboratory, Center for Nuclear Reactor Technology and Safety, BATAN"

Case Title: (describe your problem case here)

TRISO Geometry:

Outer radius          CFP      SiC      IPyC    buffer          kernel          center

[m]    4.60E-04      4.20E-04      3.85E-04      3.45E-04      2.50E-04      0

Properties and Operation Parameters:

SiC Tensile Strength [Pa]          Weibull Modulus      Burnup [FIMA]          "Fission Yield  
of stable fission gasses, Ff" Fast Neutron Fluence      Weight ratio of th to U-  
235 in kernel

8.34E+08      8.02    0.09    0.31    2.4

Properties and Operation Parameters related with thermal decomposition:

Alpha Beta

0.0001          4

-1      1401.6          0.1    10

INPUT: Irradiation Temp. Hystory

1	0	593
2	17	833
3	34	1023
4	51	1093
5	68	1123
6	85	593
7	102	833
8	119	1023
9	136	1093
10	153	1123
11	170	593
12	187	833
13	204	1023
14	221	1093
15	238	1123
16	255	593
17	272	833
18	289	1023
19	306	1093
20	323	1123
21	340	593
22	357	833
23	374	1023
24	391	1093
25	408	1123
26	425	593
27	442	833
28	459	1023
29	476	1093
30	493	1123
31	510	593
32	527	833
33	544	1023
34	561	1093
35	578	1123
36	595	593
37	612	833

38	629	1023
39	646	1093
40	663	1123
41	680	593
42	697	833
43	714	1023
44	731	1093
45	748	1123
46	765	593
47	782	833
48	799	1023
49	816	1093
50	833	1123
51	850	593
52	867	833
53	884	1023
54	901	1093
55	918	1123
56	935	593
57	952	833
58	969	1023
59	986	1093
60	1003	1123
61	1020	593

0

-1 180 1

INPUT: Accident Temp. Hystory

1	0	1033
2	0.0271	1033
3	0.2208	1068
4	1	1160
5	10	1571
6	20	1728
7	30	1752
8	35	1749
9	60	1690
10	90	1605
11	120	1526
12	180	1395

0